

底面せん断応力の増加に伴う掃流砂れきの運動特性の変化

京都大学工学部 正員 中川 博次
 京都大学工学部 正員 辻本 春郎
 青年海外協力隊 正員 ○村上 正吾
 日本国有鉄道 正員 市川 公洋

1. まえがき 近年、粒子運動の詳細な記述により土砂力学の行き詰りを打開しようとする動きが見られる。しかし単一の粒子の運動をいくつ精密に解いたところ¹⁾対象が「現実の砂の動き」と違ったものであります何の役にも立たない。実際頭の中に描く運動機構と現実の砂の挙動とに格段の差があることが多い。これはこれまで「実際の移動床」で「粒子運動が詳細に観察・計測されていなかったことに」依る。著者らは流砂(bed load)構造の本質である(床面との)衝突に着目し、実際の砂の動きに忠実な流砂モデルの枠組(frame-work)を提案し、確率論的な考慮が必須であること(單に底面の運動を考慮するというよりも)を指摘してきた²⁾。かくして実験的裏付け、計測(16mmフィルム解析による個々の粒子の運動の追跡)の都合から低い掃流力の場合に限られていた(図-1の○のプロット)ため説得性に欠けていた。そこで今回図-1に

○のプロットで示す大きい掃流力³⁾の実験を行い、先²⁾と同様の検討を行った。測定は河床変形が顕著になるまで(平坦河床)⁴⁾行っており、河床波の効果は除去されている。また測定の容易さのため幅10cm長さ5mの小規模水路を用い、数10分の1の急勾配までの実験を行った。

2. Step length step lengthの実測はこれまで

± 0.1 程度までに限られていたが、今回で ± 0.4 程度まで行った。この結果図-2に示すように平均step lengthは粒径の50~400倍程度であり、これに対する緩やかな増加傾向を示す。図中の実線及び点線は流砂量についてのBagnold式、Swiss式と著者らがすでに提案したpick-up rateの推定式¹⁾から逆算した平均step lengthと無次元掃流力の関係を表している。図-3にはstep lengthの変動係数を示したが、 $\tau_* > 0.1$ でとともに減少し、step lengthの分布は指數分布から次第にはずれくる(図-4参照)。

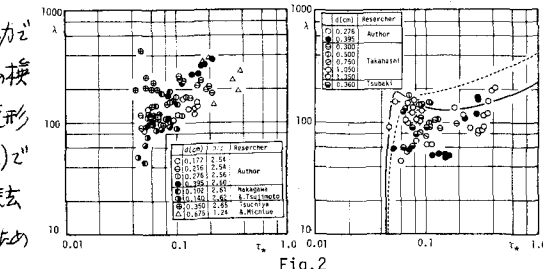


Fig. 2

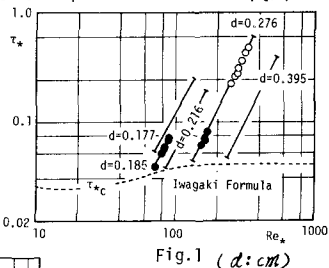
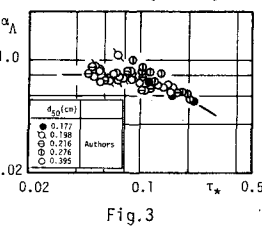
Fig. 1 ($d: \text{cm}$)

Fig. 3

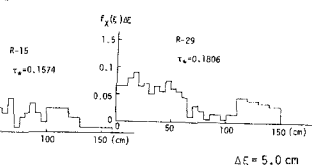


Fig. 4

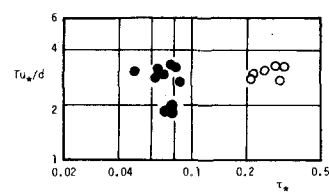


Fig. 5

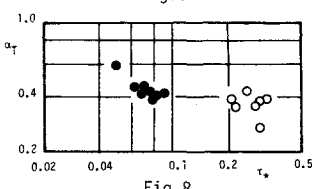


Fig. 6

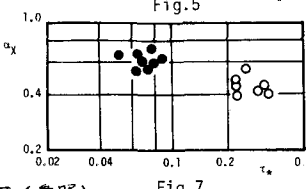


Fig. 7

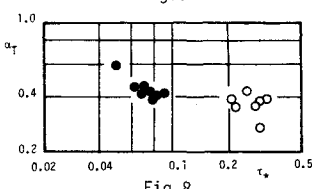


Fig. 8

* Hiroji NAKAGAWA, Tetsuro TSUJIMOTO, Shogo MURAKAMI and Kimihiro ICHIKAWA

3. 衝突過程 砂れき速度の時間的距離的変化はやはり急激な減りが確率的に生じることで特徴づけられ、その間隔 $\{T\}$, $\{X\}$ の平均値, 変動係数を調べた(図-5~8)。また $\{X\}$ の分布を掃流力の小さい場合の結果(Run L)と比較して図-9

に示した。これらによると衝突間距離は若干増加し, $\{T\}$, $\{X\}$ の分布はやや規則性がある。衝突前後の速度分布についても平均値, 変動係数を調べ(図-10~13)

に示した。摩擦速度で無次元化された平均粒子速度は(1)によてわずかに増加し、掃流力の大きさにかかわらず衝突によって半減している。変動係数は衝突によっていずれの場合も1.5~2倍ほど増加しているが、掃流力の大きい条件の結果は約7割程度である。図-13, 14に(1)の分布を示すが、掃流力の大きい方が若干規則性が現れている。

4. 流送過程 衝突と衝突間の流送過程について、図-15に初期移動から最初の衝突までの速度の変化の

アンサンブル平均を示した。これによると掃流力の大きい場合も必ずしも saltation の運動方程式に従わず、むしろ駆動力は減じているようである(抗力係数の減少)。また衝突間での速度の変動係数の変化は図-16, 17に示すようであり、低い掃流力についての実験結果²⁾と同様の傾向が認められた。

5. あとがき 掫流力が大きくなると次第に不規則性は薄れてくるもののやはりかなりの重要性を持つ。また掃流機構の構成によるものではある。

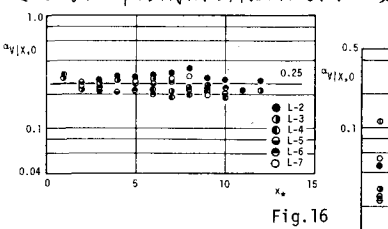


Fig.16

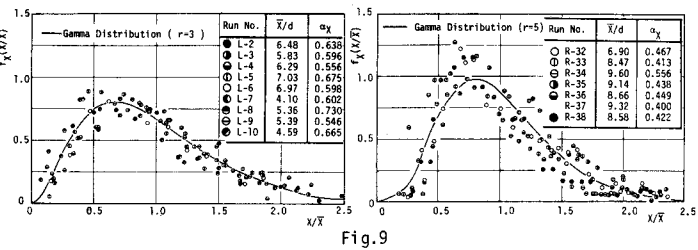


Fig.9

に示した。これらによると衝突間距離は若干増加し、 $\{T\}$, $\{X\}$ の分布はやや規則性がある。衝突前後の速度分布についても平均値、変動係数を調べ(図-10~13)

に示した。摩擦速度で無次元化された平均粒子速度は(1)によてわずかに増加し、掃流力の大きさにかかわらず衝突によって半減している。変動係数は衝突によっていずれの場合も1.5~2倍ほど増加しているが、掃流力の大きい条件の結果は約7割程度である。図-13, 14に(1)の分布を示すが、掃流力の大きい方が若干規則性が現れている。

4. 流送過程 衝突と衝突間の流送過程について、図-15に初期移動から最初の衝突までの速度の変化の

アンサンブル平均を示した。これによると掃流力の大きい場合も必ずしも saltation の運動方程式に従わず、むしろ駆動力は減じているようである(抗力係数の減少)。また衝突間での速度の変動係数の変化は図-16, 17に示すようであり、低い掃流力についての実験結果²⁾と同様の傾向が認められた。

5. あとがき 掫流力が大きくなると次第に不規則性は薄れてくるもののやはりかなりの重要性を持つ。また掃流機構の構成によるものではある。

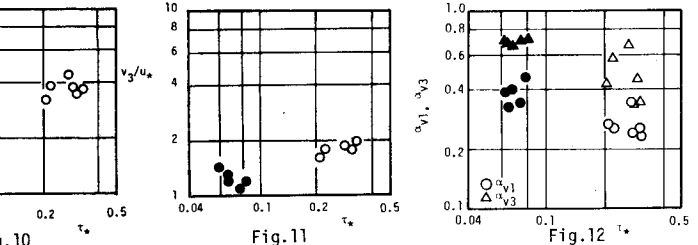


Fig.10

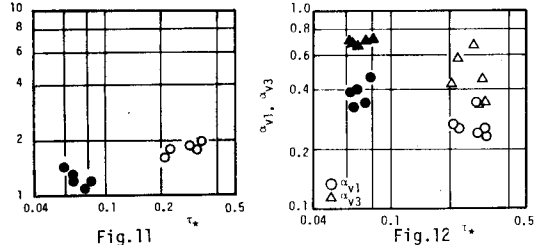


Fig.11

Fig.12

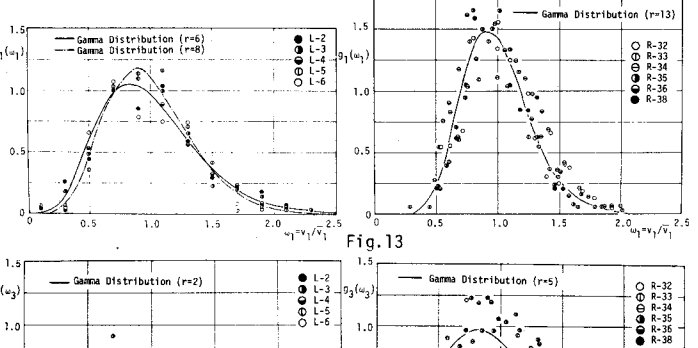


Fig.13

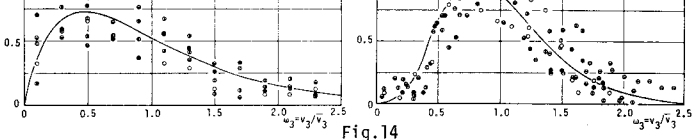


Fig.14

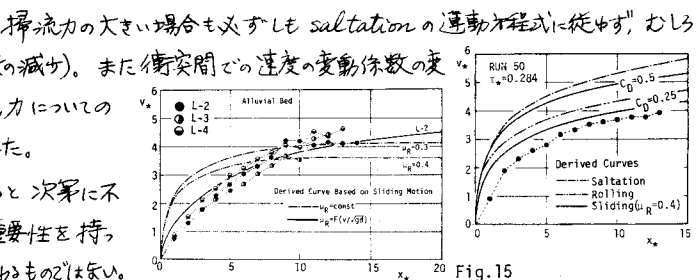


Fig.15

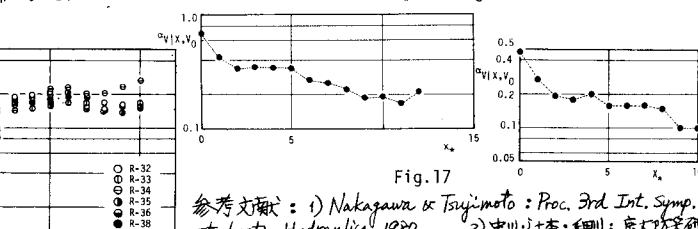


Fig.17

参考文献: 1) Nakagawa & Tsujimoto: Proc. 3rd Int. Symp. Stochastic Hydraulics, 1980. 2) 中川・辻本・細田: 床大防災研究年報 第22号B2, 1979. 3) 中川・辻本: 土木学会論文集第244号, 1975.